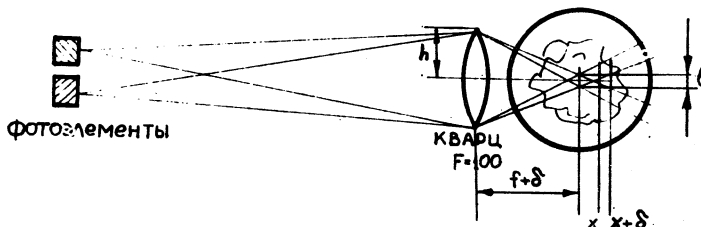


ФЛУКТУАЦИИ ИЗЛУЧЕНИЯ МИКРООБЪЕМОВ
ЛИТИКОВОГО РАЗРЯДА

А. П. Клементов, В. Б. Розанов

В ранее выполненных работах /1/ - /3/ были исследованы характеристики сильноточного разряда в литиевой плазме, такие как мощность, излучаемая в различных спектральных интервалах, пространственные распределения плотности и температуры плазмы в зависимости от времени. Плазма разряда оптически прозрачна и характеризуется средней плотностью 10^{18} см^{-3} и температурой порядка 30000°K . Теоретический анализ показывает, что литиевая плазма с указанными параметрами неустойчива по отношению к перегревной неустойчивости. В результате развития этой неустойчивости температура и плотность плазмы будут пространственно неоднородны, движение неоднородностей проявится в флюктуациях излучения отдельных малых объемов плазмы. Отметим, что полное излучение разряда главно изменяется с изменением разрядного тока, отличается стабильность и воспроизводимость /1/. Флюктуации магнитных полей в указанной плазме наблюдались с помощью магнитных зондов в течение первой четверти периода разрядного тока (0-35 мксек), в дальнейшем временные зависимости становились плавными. С помощью корреляционной обработки этих результатов были определены характеристические размеры неоднородностей, скорости их перемещения, масштаб флюктуаций температуры оценен на основании размерных формул /5/. В данной работе колебания плазменных величин исследуются с помощью оптических методов, достоинство которых заключается в том, что они в отличие от зондов не вносят возмущений в плазму. В эксперименте непосредственно наблюдается сигнал от плазменной неоднородности, обработка осциллограмм позволяет определить размеры и скорость перемещения неоднородности, а также оценить масштаб изменения плотности. Схема эксперимента и характеристические

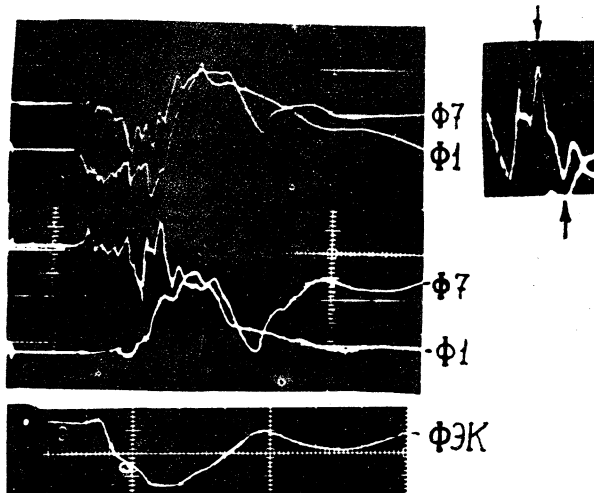
осциллограммы показаны на рис. I.2. Кварцевая линза (фокусное расстояние $f = 100$ мм) с 47-кратным увеличением проектирует сечение разрядного шнуря на плоскость, в которой установлены три пары фотоэлементов, регистрирующих излучение в различных спектральных интервалах: ФЭК (1,38–1,98 эв), ФИ (2,25–3 эв), Ф7 (4,4–



Р и с. I. Схема эксперимента.

5,1 эв); временная разрешающая способность схемы регистрации – $2 \cdot 10^{-7}$ сек /6/. Сигнал фотоэлемента в случае оптически прозрачной плазмы определяется излучением объемов плазмы, лежащих внутри конусов, показанных на рис. I. В эксперименте два однотипных фотоэлемента с одинаковыми характеристиками расположены так, что их области резкой фокусировки в плазме отстоят друг от друга на расстоянии $l = 0 - 3$ см, причем при регистрации сигнала одного фотоприемника вычитается из сигнала другого. Можно показать, что в случае однородноизлучающей оптически прозрачной плазмы плазменный слой ($x, x + \Delta x$), расположенный внутри конуса, создает одинаковый вклад в излучение, регистрируемое приемником, независимо от расстояния от этого слоя до плоскости резкой фокусировки (см. рис. I). Если же плазма излучает неоднородно, то энергия, попадающая в фотоприемник, будет существенно зависеть от того, находится ли неоднородность вблизи области резкой фокусировки ($x = 0$) или вне ее; в последнем случае сигнал фотоприемника будет меньше в отношении $\approx \Delta x h^2 / x^2 r^2$, где Δx – размер неоднородности, h – диаметр линзы ($\Delta x < x$). Поскольку у однотипных фотоэлементов показания вычитаются, результатирующий сигнал существенно отличен от нуля лишь в том случае, когда неоднородность находится в области резкой фокусировки; в частности, если неоднородность движется через область резкой фокусировки обоих фотоэлементов

тов, на осциллограмме возникают характерные пики противоположной полярности. Пример такого сигнала показан на рис. 2. Время τ между максимумами таких сигналов позволяет определить скорость



Р и с. 2. Типичные осциллограммы разностных сигналов фотоэлементов. На увеличенном участке осциллограммы показан пример прохождения сгустка через области регистрации фотоэлементов Φ_7 .

неоднородности $v = 1/\tau$, где l – известное расстояние между областями резкой фокусировки. Длительность сигнала $\Delta\tau$ определяет размер неоднородности: $\Delta x = \Delta\tau l / \tau$. Эти соотношения верны для случая $\Delta x < l$, если же $\Delta x > l$, то $\tau = \Delta x / v$, а $\Delta\tau = 1/v$. Анализ осциллограмм, полученных при различных l , показывает, что все неоднородности меньше 1 см и при $l > 1$ см реализуется первый случай. Таким образом, из измерений флуктуаций излучения можно определить характерные размеры неоднородностей и скорость их перемещения.

В эксперименте применялись абсолютно калиброванные фотоэлементы. Это позволяет по величине амплитуды сигнала оценить излучательную способность плазмы и, в конечном итоге, характерный масштаб флуктуаций плотности плазмы. Величина энергии, попадающей в фотоприемник при излучении неоднородности, имеющей сферичес-

кую форму (диаметр Δx), и находящейся в области резкой фокусировки этого фотоэлемента, определяется соотношением

$$J \left(\frac{\text{эрг}}{\text{сек}} \right) = S_{\text{ФП}} \frac{1}{4} \langle \epsilon_{\lambda} \Delta x \rangle \frac{h^2 \delta^2}{4 \pi},$$

$S_{\text{ФП}}$ - площадь фотоприемника, ϵ_{λ} эрг/см³ сек эв - излучательная способность плазмы в области частот ν , $\nu + d\nu$ при ширине спектрального интервала I эв, δ - расстояние от точки резкой фокусировки до фокальной точки.

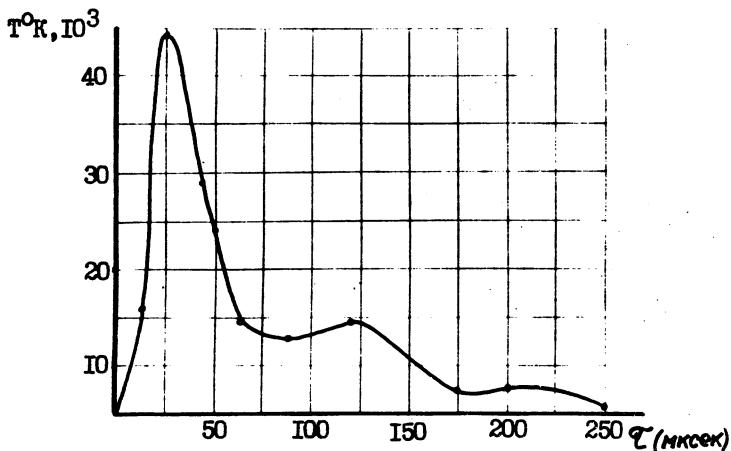
Из этого соотношения видно, что по величине сигнала можно оценить излучательную способность ϵ_{λ} . В таблице I приводятся расчетные данные /7/ по излучательной способности ϵ_{λ} эрг/см³ сек эв лигневой плазмы в интервале энергий фотонов $h\nu = 4,8$ эв., $d\nu = I$ эв (соответствующем области чувствительности приемника Ф7) в зависимости от температуры и плотности.

Таблица I

$n, \text{ см}^{-3}$	$T, \text{ эв}$	1,77	3,16	5,6
10^{17}	$1,05 \cdot 10^9$	$8,3 \cdot 10^8$	$2,2 \cdot 10^9$	
10^{18}	$9,1 \cdot 10^{10}$	$7,9 \cdot 10^{10}$	$1,05 \cdot 10^{11}$	
10^{19}	$6,2 \cdot 10^{12}$	$6,8 \cdot 10^{12}$	$7 \cdot 10^{12}$	

Средняя по диаметру разряда температура плазмы измерилась с помощью абсолютно калиброванных фотоэлементов, чувствительных в красной и инфракрасной областях /6/. В этих областях плазма имеет большую оптическую толщину и излучает как абсолютно черное тело. Результаты измерений представлены на рис. 3. Из графика видно, что в первой четверти периода разрядного тока, когда наблюдаются флюктуации излучения, температура плазмы меняется в пределах $30000-40000^{\circ}\text{K}$. В этих условиях излучательная способность слабо зависит от температуры и примерно квадратично от плотности (таблица I). Таким образом, амплитуда сигнала $J(t)$ связана с величиной n^2 , а точнее с оптической толщиной неоднородности $\langle n^2 \Delta x \rangle = \int n^2 dx$. Значение n^2 , которое достигается в центре неоднородности, определяется формой сигнала $J(t)$, для определения

π^2 следовало бы решать задачу Абеля подобно тому, как это сделано в /3/. Мы определим Δn в среднем по центральной части неоднородности, имеющей линейный размер $\Delta x/2$, равный половине



Р и с. 3. Зависимость средней по сечению разряда температуры от времени.

полного размера неоднородности Δx . В таблице 2 приводятся характерные размеры неоднородности, скорости их перемещения и величина флуктуаций плотности, определенные по двойным сигналам, соответствующим прохождению неоднородности через области резкой фокусировки обоих фотоприемников. Такая обработка осциллограмм позволяет определять размеры и скорости с хорошей точностью, величина плотности при этом определяется более грубо.

В последнем столбце приводятся данные работы /5/, полученные с помощью корреляционной обработки осциллограмм магнитных

Таблица 2

	Данная работа	Работа /5/
Размер неоднородности, см	0,2-0,6	0,9
Скорости перемещения, км/сек	2-10	10
Плотность n , см ⁻³	$2 \cdot 10^{17}$ - 10^{18}	$2 \cdot 10^{18}$

зондов. Величина Δt в /5/ непосредственно не измеряется, а получается путем пересчета с помощью формул, выведенных из соображений размерности. В /5/ отмечается тот факт, что интегральная по спектру излучательная способность плазмы в эксперименте примерно в 4–5 раз выше, чем по расчету. Учет этого обстоятельства приведет к понижению Δt примерно в 2 раза. Как видно из таблицы, соответствие результатов является удовлетворительным, подтверждая картину неустойчивостей разрядной плазмы, описанную в работах /5/, /8/. Поскольку оптические методы, в отличие от зондовых, в принципе не вносят в плазму никаких возмущений, наблюдаемое затухание флуктуаций как магнитных полей, так и излучения связано с изменением свойств самой плазмы. Стабилизация перегретой неустойчивости может происходить за счет излучения в линиях примесей, которые поступают в плазму со стенок камеры и электродов. Как отмечалось ранее /1/, линейчатое излучение существенно проявляется в спектре (при сохранении интенсивности непрерывного спектра) после максимума тока.

Отметим еще один качественно понятный результат. Наиболее изрезанный характер имеет осциллограмма датчика Φ_7 , для которого плазма наиболее оптически прозрачна. Сигнал, записанный ФЭК"ом, свидетельствует о большой оптической толщине плазмы в красной области спектра. Этот сигнал определяется главным образом внешними слоями плазмы, находящимися вне области резкой фокусировки (рис. I), и поэтому по форме он соответствует осциллограмме излучения всего разряда /1/.

Поступила в редакцию

26 июня 1972 г.

Л и т е р а т у р а

1. А. Д. Клементов, Г. В. Михайлов, Ф. А. Николаев, В. Б. Розанов, Ю. П. Свириденко. ТВТ, 8, 736 (1970).
2. Ф. А. Николаев, В. Б. Розанов, Ю. П. Свириденко. Препринт ФИАН № 99, Москва, 1971 г.
3. А. А. Вехов, Ф. А. Николаев, В. Б. Розанов. Препринт ФИАН № 79, Москва, 1971 г.

4. В. Б. Розанов, А. А. Рухадзе. Препринт ФИАН № I32, Москва, 1969 г.
5. Ф. А. Николаев, Ю. В. Новицкий, В. Б. Розанов, Ю. П. Свириденко. Препринт ФИАН № 21, Москва, 1972 г.
6. А. Д. Клементов, В. В. Еремин. Препринт ФИАН № I27, Москва, 1971 г.
7. А. Ф. Никифоров, В. Б. Уваров. Препринт ИПМ АН СССР № 36, Москва, 1969 г.
8. А. Д. Клементов, Г. В. Михайлов, Ф. А. Николаев, В. Б. Розанов, Ю. П. Свириденко. Препринт ФИАН № I26, Москва, 1969 г.